



(12)

CERERE DE BREVET DE INVENȚIE

(21) Nr. cerere: **a 2021 00700**

(22) Data de depozit: **19/11/2021**

(41) Data publicării cererii:
30/05/2023 BOPI nr. **5/2023**

(71) Solicitant:
• **GEROCS ATTILA**,
STR.ANTIM IVIREANUL, NR.43F, ARAD,
AR, RO;
• **GLĂVAN DAN-OVIDIU**,
STR.COMUNARZILOR, NR.4, ARAD, AR,
RO;
• **MULLER VALENTIN-DAN**,
STR.EXTERIOR, BL.102, SC.E, ET.4,
AP.17, ARAD, AR, RO

(72) Inventatori:
• **GEROCS ATTILA**,
STR.ANTIM IVIREANUL, NR.43F, ARAD,
AR, RO;
• **GLĂVAN DAN-OVIDIU**,
STR.COMUNARZILOR, NR.4, ARAD, AR,
RO;
• **MULLER VALENTIN-DAN**,
STR.EXTERIOR, BL.102, SC.E, ET.4,
AP.17, ARAD, AR, RO

(54) SISTEM INERTIAL DE TRANSFORMARE A MIŞCĂRII DE ROTAȚIE ÎN MIŞCARE LINIARĂ UNIDIRECTIONALĂ UTILIZÂND FORȚA DE INERȚIE A UNUI LICHID

(57) Rezumat:

Invenția se referă la un sistem inertial de transformare a mișcării de rotație în mișcare liniară unidirecțională utilizând forța de inerție a unui lichid. Sistemul, conform inventiei este compus dintr-un cilindru (1) având o cavitate, dintr-un alt cilindru (2) plin, niște palete (3) cu posibilitatea de culisare radială și niște capace (8) de etanșare, frontale, componente care delimită niște volume variabile de lichide în timpul unei rotiri complete, rotiri realizate cu ajutorul paletelor (3), astfel conducând la realizarea unei forțe de tracțiune după o direcție bine stabilită.

Revendicări: 1

Figuri: 5

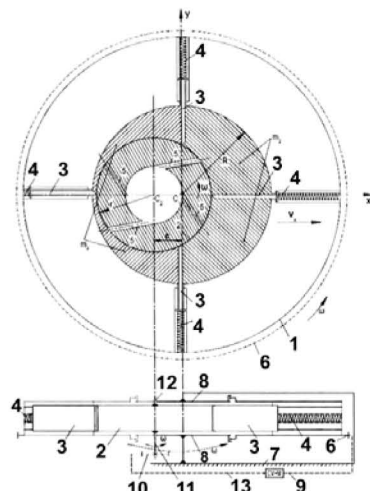


Fig. 1

Cu începere de la data publicării cererii de brevet, cererea asigură, în mod provizoriu, solicitantului, protecția conferită potrivit dispozițiilor art.32 din Legea nr.64/1991, cu excepția cazurilor în care cererea de brevet de inventie a fost respinsă, retrasă sau considerată ca fiind retrasă. Întinderea protecției conferite de cererea de brevet de inventie este determinată de revendicările continute în cererea publicată în conformitate cu art.23 alin.(1) - (3).



OFICIAL DE STAT PENTRU INVENTII SI MARCI
Cerere de brevet de invenție
Nr. a 2021 00700
Data depozit 19 -11-2021

DESCRIEREA INVENȚIEI

78

Titlul invenției: "Sistem inerțial de transformare a mișcării de rotație în mișcare liniară unidirecțională utilizând forță de inerție a unui lichid".

Domeniul de aplicare al invenției : Prezenta invenție se referă la un sistem inerțial care este capabil, cu ajutorul unui lichid antrenat în mișcare de rotație a cărui volum în compartimentele delimitate între cilindrii 1 și 2 și paleții 3 variază de la un minim la un maxim în timpul funcționării astfel realizând forțe centrifuge de valori diferite în diferite direcții , forțe care vor avea o valoare maximă după o direcție bine definită, care servește obținerea mișcării de translație unidirecțională a dispozitivului pe care este montat acest sistem, aşa cum este prezentat în fig. 1. Lichidul mai sus menționat se află în volumul delimitat de cavitatea interioară a cilindrului 2 (a cărui axă de simetrie este deplasat excentric cu excentricitatea e față de axa de simetrie a cilindrului 1) de cilindru 1 și de capacele frontale de etansare 8.

Antrenarea lichidului în mișcare de rotație este asigurată cu ajutorul celor 4 paleți 3 montați la unghiuri egale între ele în corpul cilindrului 1.

Cilindrii 1 și 2 sunt antrenați în mișcare de rotație prin intermediul lanțului cinematic 13 și 9 cu ajutorul cutiei de viteze CV și motorului M. Deoarece în diferite compartimente ale lichidului volumul acestora variază , în timpul funcționării , lucru care este permis prin circulația acestor lichide între compartimente diametral opuse în canalele 5. Pentru o mai bună echilibrare a sistemului este bine dublarea sistemului conform fig. 2. Ca să putem deduce matematic existența forței centrifuge rezultantă neegala cu zero după o anumită direcție bine stabilită ne folosim de fig. 3 ; 4 și 5.

Ca să putem afla centrul de greutate a lichidului din sistem conform fig. 3 putem scrie ecuația de momente față de centrul de greutate C astfel

$$G_1 x_c = G_2 (x_c + e); \quad (1)$$

adică:

$$m_1 g x_c = m_2 g (x_c + e) \quad (2)$$

mai departe:

93
gav
ch

$$\rho v_1 g x_c = \rho v_2 g (x_c + e) \quad (3)$$

sau:

$$dS_l x_c = dS_g (x_c + e) \quad (4)$$

sau:

$$\pi R^2 x_c d = \pi r^2 (x_c + e) \quad (5)$$

În formulele (1) ; (2) ; (3) ; (4) și (5) semnificațiile literelor sunt.

S_l - întreaga suprafață frontală a cavitații cilindrului 1.

G_1 - gerutatea volumului de lichid corespunzătoare cavitații din cilindrul 1 considerând și golul ocupat de cilindrul 2 tot de lichid.

G_2 - gerutatea volumului de lichid corespunzător volumului ocupat de cilindrul 2.

m_1 - masa lichidului corespunzător greutății G_1 .

m_2 - masa lichidului corespunzător greutății G_2 .

x_c - coordonata după axa OX a centrului de greutate al volumului de lichid ocupat real.

e - excentricitatea între centrele celor două cilindrii 1 și 2.

ρ - densitatea lichidului.

d - înalțimea cilindrilor.

R - raza cavitații din cilindrul 1.

r - raza cilindrului 2.

Din formula (5) dacă exprimăm x_c rezultă:

$$x_c = \frac{r^2 e}{R^2 - r^2} \quad (6)$$

În acest caz forța centrifugă se poate scrie sub forma:

$$F_c = (m_1 - m_2) x_c \omega^2 \quad (7)$$

formula în care ω reprezintă viteza unghiulară a lichidului raportat la coordonatele centrului de greutate x_c

Formula (7) se poate scrie și sub forme:

$$F_c = (\rho v_1 - \rho v_2) x_c \omega^2 \quad (8)$$

sau:

$$F_c = (\rho d \pi R^2 - \rho d \pi r^2) \frac{r^2 e}{R^2 - r^2} \omega^2; (9)$$

46

și în final obținem:

$$F_c = \rho d \pi r^2 e \omega^2; (10)$$

Dacă ne folosim în continuare de notațiile din fig.4. unde S_i , $i \in \{1:2:\dots:5\}$ reprezintă aria corespunzătoare suprafeței corespunzatoare cifrei i , putem scrie formulele:

$$\cos \frac{\alpha}{2} = \frac{e}{r}; (11)$$

de unde rezultă :

$$\alpha = 2ar \cos \frac{e}{r}; (12)$$

Dacă la 360° corespunde πr^2 atunci la α° corespunde $S_1 + S_3$:

Din semnificațile de pe fig.4 rezultă:

$$h = r \sin \frac{\alpha}{2}; (13)$$

La rândul său :

$$S_3 = he; (14)$$

$$S_1 = \frac{\alpha \pi r^2}{360} - S_3; (15)$$

$$S_2 = \frac{\pi R^2}{2} - S_1; (16)$$

$$S_5 = \pi r^2 - S_3 - S_1; (17)$$

$$S_4 = \frac{\pi R^2}{2} - S_5 - S_3; (18)$$

Dacă notăm cu m_c diferența de masă împărțit la 2, corespunzătoare ariilor $(S_2 - S_4)/2$ putem scrie:

$$m_c = \frac{S_2 - S_4}{2} \rho d; (19)$$

8/1
8/1
8/1

și dacă ne uităm la fig.5 putem observa că în timpul unei astfel de rotație a cilindrilor 1 și 2 cantitatea de masă m_c trece din porțiunea corespunzătoare ariei $S_2 / 2$ în porțiunea corespunzătoare $S_4 / 2$ în diagonală.

Dacă notăm vitezele tangențiale cu:

$v_{1r\max}$ - viteza tangențială maximă din canalul notat cu 5 (fig.1),

v_{2r} - viteza tangențială din canalul 5 (fig.1) la rază a ,

Δv_{rmed} - variația vitezei medie tangențială între razele r respectiv a .

și cu Δv_{rx} componenta după axa OX a lui Δv_{rmed} putem scrie formulele:

$$v_{1r\max} = \omega \cdot r ; (20)$$

$$v_{2r} = \omega \cdot a ; (21)$$

$$\Delta v_{rmed} = \frac{\omega(r + a)}{2} ; (22)$$

$$\Delta v_{rx} = \Delta v_{rmed} \sin(\alpha + 45^\circ) ; (23)$$

În formula (23)

$$\alpha = \omega t ; (24)$$

Accelerarea după direcția OX a sistemului de coordonate a centrului de greutate a lichidului din fiecare canal 5 este :

$$a_{1x} = \frac{\Delta v_{rx}}{\Delta t} ; (25)$$

Dacă la n rotații corespunde 60s atunci la $\frac{1}{4}$ rotație corespunde :

$$\Delta t = \frac{60s}{4n} = \frac{15}{n} ; (26)$$

Înlocuind formula (26) în (25) rezultă:

$$a_{1x} = \frac{\Delta v_{rx} n}{15} ; (27)$$

Și dacă:

$$n = \frac{60\omega}{2\pi} ; (28)$$

Înlocuind în formula (27) rezultă:



$$a_{1x} = \frac{\Delta v_{rx} 60\omega}{2\pi \cdot 15} = \frac{2\Delta v_{rx}\omega}{\pi}; \quad (29)$$

Deci forța care se opune deplasării în fiecare canal este:

$$F_{ri} = a_{1x} \frac{m_c}{2} = a_{1x} \frac{m_c}{2}; \quad (30)$$

Dacă efectuăm înlocuirile corespunzătoare pentru F_{ri} după cum urmează:

$$m_c = \left(\frac{\pi R^2}{2} - \frac{S_1}{2} - \frac{\pi R^2}{2} + \frac{S_5}{2} + \frac{S_3}{2} \right) \rho d; \quad (31)$$

$$m_c = (S_5 + S_3 - S_1) \frac{\rho d}{2}; \quad (32)$$

$$m_c = (\pi r^2 - S_3 - S_1 + S_3 - S_1) \frac{\rho d}{2}; \quad (33)$$

$$m_c = (\pi r^2 - 2S_1) \frac{\rho d}{2}; \quad (34)$$

$$m_c = \left(\pi r^2 - 2 \frac{\alpha \pi r^2}{360} - he \right) \frac{\rho d}{2}; \quad (35)$$

$$m_c = \left(\pi r^2 - 2 \frac{2 \arccos \frac{e}{r} \pi r^2}{360} - he \right) \frac{\rho d}{2}; \quad (36)$$

$$m_c = \left[\pi r^2 \left(1 - \frac{2 \arccos \frac{e}{r}}{90} \right) - he \right] \frac{\rho d}{2}; \quad (37)$$

obținem:

$$F_{ri} = 2 \frac{\omega(r+a)}{2} \sin(\omega t + 45^\circ) \frac{\omega}{\pi} \left[\pi r^2 \left(1 - \frac{2 \arccos \frac{e}{r}}{90} \right) - he \right] \rho d / 2; \quad (38)$$

$$; F_{ri} = \frac{\omega^2(r+a) \sin(\omega t + 45^\circ)}{2\pi} \left[\pi r^2 \left(1 - \frac{2 \arccos \frac{e}{r}}{90} \right) - he \right] \rho d \quad (39)$$

Utilizând facilitătile programului excel într-un caz particular al parametrilor sistemului obținem valoarea forței medie de tracțiune a sistemului conform tabelelor 1-5

73

Tabelul 1. Calculul forței de opunere din canale de circulație a lichidului corespunzător rotatiei α de la 0° la 89°

$\alpha [^\circ]$	$\omega [\text{rad/s}]$	$a[\text{m}]$	$r[\text{m}]$	$e[\text{m}]$	$\rho [\text{kg/m}^3]$	$h[\text{m}]$	$d[\text{m}]$	$F_r[\text{N}]$
0	100	0,1	0,5	0,1	1000	0,4898979	0,1	3490,244933
1	100	0,1	0,5	0,1	1000	0,4898979	0,1	3550,626525
2	100	0,1	0,5	0,1	1000	0,4898979	0,1	3609,926561
3	100	0,1	0,5	0,1	1000	0,4898979	0,1	3668,126979
4	100	0,1	0,5	0,1	1000	0,4898979	0,1	3725,210051
5	100	0,1	0,5	0,1	1000	0,4898979	0,1	3781,158387
6	100	0,1	0,5	0,1	1000	0,4898979	0,1	3835,954945
7	100	0,1	0,5	0,1	1000	0,4898979	0,1	3889,583035
8	100	0,1	0,5	0,1	1000	0,4898979	0,1	3942,026319
9	100	0,1	0,5	0,1	1000	0,4898979	0,1	3993,268825
10	100	0,1	0,5	0,1	1000	0,4898979	0,1	4043,294942
11	100	0,1	0,5	0,1	1000	0,4898979	0,1	4092,089432
12	100	0,1	0,5	0,1	1000	0,4898979	0,1	4139,637432
13	100	0,1	0,5	0,1	1000	0,4898979	0,1	4185,924459
14	100	0,1	0,5	0,1	1000	0,4898979	0,1	4230,936412
15	100	0,1	0,5	0,1	1000	0,4898979	0,1	4274,659581
16	100	0,1	0,5	0,1	1000	0,4898979	0,1	4317,080648
17	100	0,1	0,5	0,1	1000	0,4898979	0,1	4358,18669
18	100	0,1	0,5	0,1	1000	0,4898979	0,1	4397,965186
19	100	0,1	0,5	0,1	1000	0,4898979	0,1	4436,404019
20	100	0,1	0,5	0,1	1000	0,4898979	0,1	4473,49148
21	100	0,1	0,5	0,1	1000	0,4898979	0,1	4509,216273
22	100	0,1	0,5	0,1	1000	0,4898979	0,1	4543,567515
23	100	0,1	0,5	0,1	1000	0,4898979	0,1	4576,534742
24	100	0,1	0,5	0,1	1000	0,4898979	0,1	4608,107912
25	100	0,1	0,5	0,1	1000	0,4898979	0,1	4638,277408
26	100	0,1	0,5	0,1	1000	0,4898979	0,1	4667,034039
27	100	0,1	0,5	0,1	1000	0,4898979	0,1	4694,369047
28	100	0,1	0,5	0,1	1000	0,4898979	0,1	4720,274105
29	100	0,1	0,5	0,1	1000	0,4898979	0,1	4744,741321
30	100	0,1	0,5	0,1	1000	0,4898979	0,1	4767,763244
31	100	0,1	0,5	0,1	1000	0,4898979	0,1	4789,332859
32	100	0,1	0,5	0,1	1000	0,4898979	0,1	4809,443597
33	100	0,1	0,5	0,1	1000	0,4898979	0,1	4828,089332
34	100	0,1	0,5	0,1	1000	0,4898979	0,1	4845,264384



72

35	100	0,1	0,5	0,1	1000	0,4898979	0,1	4860,963522
36	100	0,1	0,5	0,1	1000	0,4898979	0,1	4875,181964
37	100	0,1	0,5	0,1	1000	0,4898979	0,1	4887,915377
38	100	0,1	0,5	0,1	1000	0,4898979	0,1	4899,159884
39	100	0,1	0,5	0,1	1000	0,4898979	0,1	4908,91206
40	100	0,1	0,5	0,1	1000	0,4898979	0,1	4917,168933
41	100	0,1	0,5	0,1	1000	0,4898979	0,1	4923,92799
42	100	0,1	0,5	0,1	1000	0,4898979	0,1	4929,18717
43	100	0,1	0,5	0,1	1000	0,4898979	0,1	4932,944872
44	100	0,1	0,5	0,1	1000	0,4898979	0,1	4935,199951
45	100	0,1	0,5	0,1	1000	0,4898979	0,1	4935,95172
46	100	0,1	0,5	0,1	1000	0,4898979	0,1	4935,199951
47	100	0,1	0,5	0,1	1000	0,4898979	0,1	4932,944872
48	100	0,1	0,5	0,1	1000	0,4898979	0,1	4929,18717
49	100	0,1	0,5	0,1	1000	0,4898979	0,1	4923,92799
50	100	0,1	0,5	0,1	1000	0,4898979	0,1	4917,168933
51	100	0,1	0,5	0,1	1000	0,4898979	0,1	4908,91206
52	100	0,1	0,5	0,1	1000	0,4898979	0,1	4899,159884
53	100	0,1	0,5	0,1	1000	0,4898979	0,1	4887,915377
54	100	0,1	0,5	0,1	1000	0,4898979	0,1	4875,181964
55	100	0,1	0,5	0,1	1000	0,4898979	0,1	4860,963522
56	100	0,1	0,5	0,1	1000	0,4898979	0,1	4845,264384
57	100	0,1	0,5	0,1	1000	0,4898979	0,1	4828,089332
58	100	0,1	0,5	0,1	1000	0,4898979	0,1	4809,443597
59	100	0,1	0,5	0,1	1000	0,4898979	0,1	4789,332859
60	100	0,1	0,5	0,1	1000	0,4898979	0,1	4767,763244
61	100	0,1	0,5	0,1	1000	0,4898979	0,1	4744,741321
62	100	0,1	0,5	0,1	1000	0,4898979	0,1	4720,274105
63	100	0,1	0,5	0,1	1000	0,4898979	0,1	4694,369047
64	100	0,1	0,5	0,1	1000	0,4898979	0,1	4667,034039
65	100	0,1	0,5	0,1	1000	0,4898979	0,1	4638,277408
66	100	0,1	0,5	0,1	1000	0,4898979	0,1	4608,107912
67	100	0,1	0,5	0,1	1000	0,4898979	0,1	4576,534742
68	100	0,1	0,5	0,1	1000	0,4898979	0,1	4543,567515
69	100	0,1	0,5	0,1	1000	0,4898979	0,1	4509,216273
70	100	0,1	0,5	0,1	1000	0,4898979	0,1	4473,49148
71	100	0,1	0,5	0,1	1000	0,4898979	0,1	4436,404019
72	100	0,1	0,5	0,1	1000	0,4898979	0,1	4397,965186
73	100	0,1	0,5	0,1	1000	0,4898979	0,1	4358,18669
74	100	0,1	0,5	0,1	1000	0,4898979	0,1	4317,080648
75	100	0,1	0,5	0,1	1000	0,4898979	0,1	4274,659581
76	100	0,1	0,5	0,1	1000	0,4898979	0,1	4230,936412
77	100	0,1	0,5	0,1	1000	0,4898979	0,1	4185,924459
78	100	0,1	0,5	0,1	1000	0,4898979	0,1	4139,637432
79	100	0,1	0,5	0,1	1000	0,4898979	0,1	4092,089432



X/1

80	100	0,1	0,5	0,1	1000	0,4898979	0,1	4043,294942
81	100	0,1	0,5	0,1	1000	0,4898979	0,1	3993,268825
82	100	0,1	0,5	0,1	1000	0,4898979	0,1	3942,026319
83	100	0,1	0,5	0,1	1000	0,4898979	0,1	3889,583035
84	100	0,1	0,5	0,1	1000	0,4898979	0,1	3835,954945
85	100	0,1	0,5	0,1	1000	0,4898979	0,1	3781,158387
86	100	0,1	0,5	0,1	1000	0,4898979	0,1	3725,210051
87	100	0,1	0,5	0,1	1000	0,4898979	0,1	3668,126979
88	100	0,1	0,5	0,1	1000	0,4898979	0,1	3609,926561
89	100	0,1	0,5	0,1	1000	0,4898979	0,1	3550,626525

Tabelul 2. Calculul forței de opunere din canale de circulație a lichiduluicorespunzător rotației α de la 90° la 179°

$\alpha [^\circ]$	$\omega [\text{rad/s}]$	$a [\text{m}]$	$r [\text{m}]$	$e [\text{m}]$	$\rho [\text{kg/m}^3]$	$h [\text{m}]$	$d [\text{m}]$	$F_{rl} [\text{N}]$
90	100	0,1	0,5	0,1	1000	0,48989795	0,1	3490,245
91	100	0,1	0,5	0,1	1000	0,48989795	0,1	3428,8
92	100	0,1	0,5	0,1	1000	0,48989795	0,1	3366,311
93	100	0,1	0,5	0,1	1000	0,48989795	0,1	3302,796
94	100	0,1	0,5	0,1	1000	0,48989795	0,1	3238,276
95	100	0,1	0,5	0,1	1000	0,48989795	0,1	3172,769
96	100	0,1	0,5	0,1	1000	0,48989795	0,1	3106,295
97	100	0,1	0,5	0,1	1000	0,48989795	0,1	3038,875
98	100	0,1	0,5	0,1	1000	0,48989795	0,1	2970,53
99	100	0,1	0,5	0,1	1000	0,48989795	0,1	2901,28
100	100	0,1	0,5	0,1	1000	0,48989795	0,1	2831,146
101	100	0,1	0,5	0,1	1000	0,48989795	0,1	2760,149
102	100	0,1	0,5	0,1	1000	0,48989795	0,1	2688,312
103	100	0,1	0,5	0,1	1000	0,48989795	0,1	2615,656
104	100	0,1	0,5	0,1	1000	0,48989795	0,1	2542,203
105	100	0,1	0,5	0,1	1000	0,48989795	0,1	2467,976
106	100	0,1	0,5	0,1	1000	0,48989795	0,1	2392,997
107	100	0,1	0,5	0,1	1000	0,48989795	0,1	2317,289
108	100	0,1	0,5	0,1	1000	0,48989795	0,1	2240,875
109	100	0,1	0,5	0,1	1000	0,48989795	0,1	2163,779
110	100	0,1	0,5	0,1	1000	0,48989795	0,1	2086,023
111	100	0,1	0,5	0,1	1000	0,48989795	0,1	2007,632
112	100	0,1	0,5	0,1	1000	0,48989795	0,1	1928,63
113	100	0,1	0,5	0,1	1000	0,48989795	0,1	1849,04
114	100	0,1	0,5	0,1	1000	0,48989795	0,1	1768,887
115	100	0,1	0,5	0,1	1000	0,48989795	0,1	1688,195
116	100	0,1	0,5	0,1	1000	0,48989795	0,1	1606,989
117	100	0,1	0,5	0,1	1000	0,48989795	0,1	1525,293
118	100	0,1	0,5	0,1	1000	0,48989795	0,1	1443,133



70

119	100	0,1	0,5	0,1	1000	0,48989795	0,1	1360,533
120	100	0,1	0,5	0,1	1000	0,48989795	0,1	1277,518
121	100	0,1	0,5	0,1	1000	0,48989795	0,1	1194,115
122	100	0,1	0,5	0,1	1000	0,48989795	0,1	1110,348
123	100	0,1	0,5	0,1	1000	0,48989795	0,1	1026,242
124	100	0,1	0,5	0,1	1000	0,48989795	0,1	941,824
125	100	0,1	0,5	0,1	1000	0,48989795	0,1	857,119
126	100	0,1	0,5	0,1	1000	0,48989795	0,1	772,153
127	100	0,1	0,5	0,1	1000	0,48989795	0,1	686,9517
128	100	0,1	0,5	0,1	1000	0,48989795	0,1	601,5412
129	100	0,1	0,5	0,1	1000	0,48989795	0,1	515,9474
130	100	0,1	0,5	0,1	1000	0,48989795	0,1	430,1965
131	100	0,1	0,5	0,1	1000	0,48989795	0,1	344,3146
132	100	0,1	0,5	0,1	1000	0,48989795	0,1	258,3278
133	100	0,1	0,5	0,1	1000	0,48989795	0,1	172,2622
134	100	0,1	0,5	0,1	1000	0,48989795	0,1	86,14424
135	100	0,1	0,5	0,1	1000	0,48989795	0,1	6,05E-13
136	100	0,1	0,5	0,1	1000	0,48989795	0,1	86,14424
137	100	0,1	0,5	0,1	1000	0,48989795	0,1	172,2622
138	100	0,1	0,5	0,1	1000	0,48989795	0,1	258,3278
139	100	0,1	0,5	0,1	1000	0,48989795	0,1	344,3146
140	100	0,1	0,5	0,1	1000	0,48989795	0,1	430,1965
141	100	0,1	0,5	0,1	1000	0,48989795	0,1	515,9474
142	100	0,1	0,5	0,1	1000	0,48989795	0,1	601,5412
143	100	0,1	0,5	0,1	1000	0,48989795	0,1	686,9517
144	100	0,1	0,5	0,1	1000	0,48989795	0,1	772,153
145	100	0,1	0,5	0,1	1000	0,48989795	0,1	857,119
146	100	0,1	0,5	0,1	1000	0,48989795	0,1	941,824
147	100	0,1	0,5	0,1	1000	0,48989795	0,1	1026,242
148	100	0,1	0,5	0,1	1000	0,48989795	0,1	1110,348
149	100	0,1	0,5	0,1	1000	0,48989795	0,1	1194,115
150	100	0,1	0,5	0,1	1000	0,48989795	0,1	1277,518
151	100	0,1	0,5	0,1	1000	0,48989795	0,1	1360,533
152	100	0,1	0,5	0,1	1000	0,48989795	0,1	1443,133
153	100	0,1	0,5	0,1	1000	0,48989795	0,1	1525,293
154	100	0,1	0,5	0,1	1000	0,48989795	0,1	1606,989
155	100	0,1	0,5	0,1	1000	0,48989795	0,1	1688,195
156	100	0,1	0,5	0,1	1000	0,48989795	0,1	1768,887
157	100	0,1	0,5	0,1	1000	0,48989795	0,1	1849,04
158	100	0,1	0,5	0,1	1000	0,48989795	0,1	1928,63
159	100	0,1	0,5	0,1	1000	0,48989795	0,1	2007,632
160	100	0,1	0,5	0,1	1000	0,48989795	0,1	2086,023
161	100	0,1	0,5	0,1	1000	0,48989795	0,1	2163,779
162	100	0,1	0,5	0,1	1000	0,48989795	0,1	2240,875
163	100	0,1	0,5	0,1	1000	0,48989795	0,1	2317,289



69

164	100	0,1	0,5	0,1	1000	0,48989795	0,1	2392,997
165	100	0,1	0,5	0,1	1000	0,48989795	0,1	2467,976
166	100	0,1	0,5	0,1	1000	0,48989795	0,1	2542,203
167	100	0,1	0,5	0,1	1000	0,48989795	0,1	2615,656
168	100	0,1	0,5	0,1	1000	0,48989795	0,1	2688,312
169	100	0,1	0,5	0,1	1000	0,48989795	0,1	2760,149
170	100	0,1	0,5	0,1	1000	0,48989795	0,1	2831,146
171	100	0,1	0,5	0,1	1000	0,48989795	0,1	2901,28
172	100	0,1	0,5	0,1	1000	0,48989795	0,1	2970,53
173	100	0,1	0,5	0,1	1000	0,48989795	0,1	3038,875
174	100	0,1	0,5	0,1	1000	0,48989795	0,1	3106,295
175	100	0,1	0,5	0,1	1000	0,48989795	0,1	3172,769
176	100	0,1	0,5	0,1	1000	0,48989795	0,1	3238,276
177	100	0,1	0,5	0,1	1000	0,48989795	0,1	3302,796
178	100	0,1	0,5	0,1	1000	0,48989795	0,1	3366,311
179	100	0,1	0,5	0,1	1000	0,48989795	0,1	3428,8

Tabelul 3. Calculul forței de opunere din canale de circulație a lichidului
corespunzător rotației α de la 180° la 269°

$\alpha [^\circ]$	$\omega [\text{rad/s}]$	$a[\text{m}]$	$r[\text{m}]$	$e[\text{m}]$	$\rho [\text{kg/m}^3]$	$h[\text{m}]$	$d[\text{m}]$	$F_r[\text{N}]$
180	100	0,1	0,5	0,1	1000	0,49	0,1	3490,245
181	100	0,1	0,5	0,1	1000	0,49	0,1	3550,627
182	100	0,1	0,5	0,1	1000	0,49	0,1	3609,927
183	100	0,1	0,5	0,1	1000	0,49	0,1	3668,127
184	100	0,1	0,5	0,1	1000	0,49	0,1	3725,21
185	100	0,1	0,5	0,1	1000	0,49	0,1	3781,158
186	100	0,1	0,5	0,1	1000	0,49	0,1	3835,955
187	100	0,1	0,5	0,1	1000	0,49	0,1	3889,583
188	100	0,1	0,5	0,1	1000	0,49	0,1	3942,026
189	100	0,1	0,5	0,1	1000	0,49	0,1	3993,269
190	100	0,1	0,5	0,1	1000	0,49	0,1	4043,295
191	100	0,1	0,5	0,1	1000	0,49	0,1	4092,089
192	100	0,1	0,5	0,1	1000	0,49	0,1	4139,637
193	100	0,1	0,5	0,1	1000	0,49	0,1	4185,924
194	100	0,1	0,5	0,1	1000	0,49	0,1	4230,936
195	100	0,1	0,5	0,1	1000	0,49	0,1	4274,66
196	100	0,1	0,5	0,1	1000	0,49	0,1	4317,081
197	100	0,1	0,5	0,1	1000	0,49	0,1	4358,187
198	100	0,1	0,5	0,1	1000	0,49	0,1	4397,965
199	100	0,1	0,5	0,1	1000	0,49	0,1	4436,404
200	100	0,1	0,5	0,1	1000	0,49	0,1	4473,491
201	100	0,1	0,5	0,1	1000	0,49	0,1	4509,216
202	100	0,1	0,5	0,1	1000	0,49	0,1	4543,568

G.G.
fgh
ch

68

203	100	0,1	0,5	0,1	1000	0,49	0,1	4576,535
204	100	0,1	0,5	0,1	1000	0,49	0,1	4608,108
205	100	0,1	0,5	0,1	1000	0,49	0,1	4638,277
206	100	0,1	0,5	0,1	1000	0,49	0,1	4667,034
207	100	0,1	0,5	0,1	1000	0,49	0,1	4694,369
208	100	0,1	0,5	0,1	1000	0,49	0,1	4720,274
209	100	0,1	0,5	0,1	1000	0,49	0,1	4744,741
210	100	0,1	0,5	0,1	1000	0,49	0,1	4767,763
211	100	0,1	0,5	0,1	1000	0,49	0,1	4789,333
212	100	0,1	0,5	0,1	1000	0,49	0,1	4809,444
213	100	0,1	0,5	0,1	1000	0,49	0,1	4828,089
214	100	0,1	0,5	0,1	1000	0,49	0,1	4845,264
215	100	0,1	0,5	0,1	1000	0,49	0,1	4860,964
216	100	0,1	0,5	0,1	1000	0,49	0,1	4875,182
217	100	0,1	0,5	0,1	1000	0,49	0,1	4887,915
218	100	0,1	0,5	0,1	1000	0,49	0,1	4899,16
219	100	0,1	0,5	0,1	1000	0,49	0,1	4908,912
220	100	0,1	0,5	0,1	1000	0,49	0,1	4917,169
221	100	0,1	0,5	0,1	1000	0,49	0,1	4923,928
222	100	0,1	0,5	0,1	1000	0,49	0,1	4929,187
223	100	0,1	0,5	0,1	1000	0,49	0,1	4932,945
224	100	0,1	0,5	0,1	1000	0,49	0,1	4935,2
225	100	0,1	0,5	0,1	1000	0,49	0,1	4935,952
226	100	0,1	0,5	0,1	1000	0,49	0,1	4935,2
227	100	0,1	0,5	0,1	1000	0,49	0,1	4932,945
228	100	0,1	0,5	0,1	1000	0,49	0,1	4929,187
229	100	0,1	0,5	0,1	1000	0,49	0,1	4923,928
230	100	0,1	0,5	0,1	1000	0,49	0,1	4917,169
231	100	0,1	0,5	0,1	1000	0,49	0,1	4908,912
232	100	0,1	0,5	0,1	1000	0,49	0,1	4899,16
233	100	0,1	0,5	0,1	1000	0,49	0,1	4887,915
234	100	0,1	0,5	0,1	1000	0,49	0,1	4875,182
235	100	0,1	0,5	0,1	1000	0,49	0,1	4860,964
236	100	0,1	0,5	0,1	1000	0,49	0,1	4845,264
237	100	0,1	0,5	0,1	1000	0,49	0,1	4828,089
238	100	0,1	0,5	0,1	1000	0,49	0,1	4809,444
239	100	0,1	0,5	0,1	1000	0,49	0,1	4789,333
240	100	0,1	0,5	0,1	1000	0,49	0,1	4767,763
241	100	0,1	0,5	0,1	1000	0,49	0,1	4744,741
242	100	0,1	0,5	0,1	1000	0,49	0,1	4720,274
243	100	0,1	0,5	0,1	1000	0,49	0,1	4694,369
244	100	0,1	0,5	0,1	1000	0,49	0,1	4667,034
245	100	0,1	0,5	0,1	1000	0,49	0,1	4638,277
246	100	0,1	0,5	0,1	1000	0,49	0,1	4608,108
247	100	0,1	0,5	0,1	1000	0,49	0,1	4576,535

248	100	0,1	0,5	0,1	1000	0,49	0,1	4543,568
249	100	0,1	0,5	0,1	1000	0,49	0,1	4509,216
250	100	0,1	0,5	0,1	1000	0,49	0,1	4473,491
251	100	0,1	0,5	0,1	1000	0,49	0,1	4436,404
252	100	0,1	0,5	0,1	1000	0,49	0,1	4397,965
253	100	0,1	0,5	0,1	1000	0,49	0,1	4358,187
254	100	0,1	0,5	0,1	1000	0,49	0,1	4317,081
255	100	0,1	0,5	0,1	1000	0,49	0,1	4274,66
256	100	0,1	0,5	0,1	1000	0,49	0,1	4230,936
257	100	0,1	0,5	0,1	1000	0,49	0,1	4185,924
258	100	0,1	0,5	0,1	1000	0,49	0,1	4139,637
259	100	0,1	0,5	0,1	1000	0,49	0,1	4092,089
260	100	0,1	0,5	0,1	1000	0,49	0,1	4043,295
261	100	0,1	0,5	0,1	1000	0,49	0,1	3993,269
262	100	0,1	0,5	0,1	1000	0,49	0,1	3942,026
263	100	0,1	0,5	0,1	1000	0,49	0,1	3889,583
264	100	0,1	0,5	0,1	1000	0,49	0,1	3835,955
265	100	0,1	0,5	0,1	1000	0,49	0,1	3781,158
266	100	0,1	0,5	0,1	1000	0,49	0,1	3725,21
267	100	0,1	0,5	0,1	1000	0,49	0,1	3668,127
268	100	0,1	0,5	0,1	1000	0,49	0,1	3609,927
269	100	0,1	0,5	0,1	1000	0,49	0,1	3550,627

Tabelul 4. Calculul forței de opunere din canale de circulație a lichiduluicorespunzător rotatiei α de la 270° la 359°

$\alpha [^\circ]$	$\omega [\text{rad/s}]$	$a[\text{m}]$	$r[\text{m}]$	$e[\text{m}]$	$\rho [\text{kg/m}^3]$	$h[\text{m}]$	$d[\text{m}]$	$F_{ri} [\text{N}]$
270	100	0,1	0,5	0,1	1000	0,489898	0,1	3490,245
271	100	0,1	0,5	0,1	1000	0,489898	0,1	3428,8
272	100	0,1	0,5	0,1	1000	0,489898	0,1	3366,311
273	100	0,1	0,5	0,1	1000	0,489898	0,1	3302,796
274	100	0,1	0,5	0,1	1000	0,489898	0,1	3238,276
275	100	0,1	0,5	0,1	1000	0,489898	0,1	3172,769
276	100	0,1	0,5	0,1	1000	0,489898	0,1	3106,295
277	100	0,1	0,5	0,1	1000	0,489898	0,1	3038,875
278	100	0,1	0,5	0,1	1000	0,489898	0,1	2970,53
279	100	0,1	0,5	0,1	1000	0,489898	0,1	2901,28
280	100	0,1	0,5	0,1	1000	0,489898	0,1	2831,146
281	100	0,1	0,5	0,1	1000	0,489898	0,1	2760,149
282	100	0,1	0,5	0,1	1000	0,489898	0,1	2688,312
283	100	0,1	0,5	0,1	1000	0,489898	0,1	2615,656
284	100	0,1	0,5	0,1	1000	0,489898	0,1	2542,203
285	100	0,1	0,5	0,1	1000	0,489898	0,1	2467,976
286	100	0,1	0,5	0,1	1000	0,489898	0,1	2392,997



66

287	100	0,1	0,5	0,1	1000	0,489898	0,1	2317,289
288	100	0,1	0,5	0,1	1000	0,489898	0,1	2240,875
289	100	0,1	0,5	0,1	1000	0,489898	0,1	2163,779
290	100	0,1	0,5	0,1	1000	0,489898	0,1	2086,023
291	100	0,1	0,5	0,1	1000	0,489898	0,1	2007,632
292	100	0,1	0,5	0,1	1000	0,489898	0,1	1928,63
293	100	0,1	0,5	0,1	1000	0,489898	0,1	1849,04
294	100	0,1	0,5	0,1	1000	0,489898	0,1	1768,887
295	100	0,1	0,5	0,1	1000	0,489898	0,1	1688,195
296	100	0,1	0,5	0,1	1000	0,489898	0,1	1606,989
297	100	0,1	0,5	0,1	1000	0,489898	0,1	1525,293
298	100	0,1	0,5	0,1	1000	0,489898	0,1	1443,133
299	100	0,1	0,5	0,1	1000	0,489898	0,1	1360,533
300	100	0,1	0,5	0,1	1000	0,489898	0,1	1277,518
301	100	0,1	0,5	0,1	1000	0,489898	0,1	1194,115
302	100	0,1	0,5	0,1	1000	0,489898	0,1	1110,348
303	100	0,1	0,5	0,1	1000	0,489898	0,1	1026,242
304	100	0,1	0,5	0,1	1000	0,489898	0,1	941,824
305	100	0,1	0,5	0,1	1000	0,489898	0,1	857,119
306	100	0,1	0,5	0,1	1000	0,489898	0,1	772,153
307	100	0,1	0,5	0,1	1000	0,489898	0,1	686,9517
308	100	0,1	0,5	0,1	1000	0,489898	0,1	601,5412
309	100	0,1	0,5	0,1	1000	0,489898	0,1	515,9474
310	100	0,1	0,5	0,1	1000	0,489898	0,1	430,1965
311	100	0,1	0,5	0,1	1000	0,489898	0,1	344,3146
312	100	0,1	0,5	0,1	1000	0,489898	0,1	258,3278
313	100	0,1	0,5	0,1	1000	0,489898	0,1	172,2622
314	100	0,1	0,5	0,1	1000	0,489898	0,1	86,14424
315	100	0,1	0,5	0,1	1000	0,489898	0,1	1,21E-12
316	100	0,1	0,5	0,1	1000	0,489898	0,1	86,14424
317	100	0,1	0,5	0,1	1000	0,489898	0,1	172,2622
318	100	0,1	0,5	0,1	1000	0,489898	0,1	258,3278
319	100	0,1	0,5	0,1	1000	0,489898	0,1	344,3146
320	100	0,1	0,5	0,1	1000	0,489898	0,1	430,1965
321	100	0,1	0,5	0,1	1000	0,489898	0,1	515,9474
322	100	0,1	0,5	0,1	1000	0,489898	0,1	601,5412
323	100	0,1	0,5	0,1	1000	0,489898	0,1	686,9517
324	100	0,1	0,5	0,1	1000	0,489898	0,1	772,153
325	100	0,1	0,5	0,1	1000	0,489898	0,1	857,119
326	100	0,1	0,5	0,1	1000	0,489898	0,1	941,824
327	100	0,1	0,5	0,1	1000	0,489898	0,1	1026,242
328	100	0,1	0,5	0,1	1000	0,489898	0,1	1110,348
329	100	0,1	0,5	0,1	1000	0,489898	0,1	1194,115
330	100	0,1	0,5	0,1	1000	0,489898	0,1	1277,518
331	100	0,1	0,5	0,1	1000	0,489898	0,1	1360,533



65

332	100	0,1	0,5	0,1	1000	0,489898	0,1	1443,133
333	100	0,1	0,5	0,1	1000	0,489898	0,1	1525,293
334	100	0,1	0,5	0,1	1000	0,489898	0,1	1606,989
335	100	0,1	0,5	0,1	1000	0,489898	0,1	1688,195
336	100	0,1	0,5	0,1	1000	0,489898	0,1	1768,887
337	100	0,1	0,5	0,1	1000	0,489898	0,1	1849,04
338	100	0,1	0,5	0,1	1000	0,489898	0,1	1928,63
339	100	0,1	0,5	0,1	1000	0,489898	0,1	2007,632
340	100	0,1	0,5	0,1	1000	0,489898	0,1	2086,023
341	100	0,1	0,5	0,1	1000	0,489898	0,1	2163,779
342	100	0,1	0,5	0,1	1000	0,489898	0,1	2240,875
343	100	0,1	0,5	0,1	1000	0,489898	0,1	2317,289
344	100	0,1	0,5	0,1	1000	0,489898	0,1	2392,997
345	100	0,1	0,5	0,1	1000	0,489898	0,1	2467,976
346	100	0,1	0,5	0,1	1000	0,489898	0,1	2542,203
347	100	0,1	0,5	0,1	1000	0,489898	0,1	2615,656
348	100	0,1	0,5	0,1	1000	0,489898	0,1	2688,312
349	100	0,1	0,5	0,1	1000	0,489898	0,1	2760,149
350	100	0,1	0,5	0,1	1000	0,489898	0,1	2831,146
351	100	0,1	0,5	0,1	1000	0,489898	0,1	2901,28
352	100	0,1	0,5	0,1	1000	0,489898	0,1	2970,53
353	100	0,1	0,5	0,1	1000	0,489898	0,1	3038,875
354	100	0,1	0,5	0,1	1000	0,489898	0,1	3106,295
355	100	0,1	0,5	0,1	1000	0,489898	0,1	3172,769
356	100	0,1	0,5	0,1	1000	0,489898	0,1	3238,276
357	100	0,1	0,5	0,1	1000	0,489898	0,1	3302,796
358	100	0,1	0,5	0,1	1000	0,489898	0,1	3366,311
359	100	0,1	0,5	0,1	1000	0,489898	0,1	3428,8

Tabelul 5. Calculul forței totale medii de tracțiune

$\alpha [^{\circ}]$	$F_{r1}[N]$	$F_{r2}[N]$	$F_{r3}[N]$	$F_{r4}[N]$	$F_c[N]$	$T[N]$
0	3490,245	3490,245	3490,245	3490,245	78539,82	64578,84
1	3550,627	3428,8	3550,627	3428,8	78539,82	64580,96
2	3609,927	3366,311	3609,927	3366,311	78539,82	64587,34
3	3668,127	3302,796	3668,127	3302,796	78539,82	64597,97
4	3725,21	3238,276	3725,21	3238,276	78539,82	64612,84
5	3781,158	3172,769	3781,158	3172,769	78539,82	64631,96
6	3835,955	3106,295	3835,955	3106,295	78539,82	64655,32
7	3889,583	3038,875	3889,583	3038,875	78539,82	64682,9
8	3942,026	2970,53	3942,026	2970,53	78539,82	64714,7
9	3993,269	2901,28	3993,269	2901,28	78539,82	64750,72
10	4043,295	2831,146	4043,295	2831,146	78539,82	64790,94
11	4092,089	2760,149	4092,089	2760,149	78539,82	64835,34

G
G
G
ch

64

12	4139,637	2688,312	4139,637	2688,312	78539,82	64883,92
13	4185,924	2615,656	4185,924	2615,656	78539,82	64936,66
14	4230,936	2542,203	4230,936	2542,203	78539,82	64993,54
15	4274,66	2467,976	4274,66	2467,976	78539,82	65054,55
16	4317,081	2392,997	4317,081	2392,997	78539,82	65119,66
17	4358,187	2317,289	4358,187	2317,289	78539,82	65188,87
18	4397,965	2240,875	4397,965	2240,875	78539,82	65262,14
19	4436,404	2163,779	4436,404	2163,779	78539,82	65339,45
20	4473,491	2086,023	4473,491	2086,023	78539,82	65420,79
21	4509,216	2007,632	4509,216	2007,632	78539,82	65506,12
22	4543,568	1928,63	4543,568	1928,63	78539,82	65595,42
23	4576,535	1849,04	4576,535	1849,04	78539,82	65688,67
24	4608,108	1768,887	4608,108	1768,887	78539,82	65785,83
25	4638,277	1688,195	4638,277	1688,195	78539,82	65886,87
26	4667,034	1606,989	4667,034	1606,989	78539,82	65991,77
27	4694,369	1525,293	4694,369	1525,293	78539,82	66100,49
28	4720,274	1443,133	4720,274	1443,133	78539,82	66213
29	4744,741	1360,533	4744,741	1360,533	78539,82	66329,27
30	4767,763	1277,518	4767,763	1277,518	78539,82	66449,25
31	4789,333	1194,115	4789,333	1194,115	78539,82	66572,92
32	4809,444	1110,348	4809,444	1110,348	78539,82	66700,23
33	4828,089	1026,242	4828,089	1026,242	78539,82	66831,15
34	4845,264	941,824	4845,264	941,824	78539,82	66965,64
35	4860,964	857,119	4860,964	857,119	78539,82	67103,65
36	4875,182	772,153	4875,182	772,153	78539,82	67245,15
37	4887,915	686,9517	4887,915	686,9517	78539,82	67390,08
38	4899,16	601,5412	4899,16	601,5412	78539,82	67538,41
39	4908,912	515,9474	4908,912	515,9474	78539,82	67690,1
40	4917,169	430,1965	4917,169	430,1965	78539,82	67845,09
41	4923,928	344,3146	4923,928	344,3146	78539,82	68003,33
42	4929,187	258,3278	4929,187	258,3278	78539,82	68164,79
43	4932,945	172,2622	4932,945	172,2622	78539,82	68329,4
44	4935,2	86,14424	4935,2	86,14424	78539,82	68497,13
45	4935,952	6,05E-13	4935,952	1,21E-12	78539,82	68667,91
46	4935,2	86,14424	4935,2	86,14424	78539,82	68497,13
47	4932,945	172,2622	4932,945	172,2622	78539,82	68329,4
48	4929,187	258,3278	4929,187	258,3278	78539,82	68164,79
49	4923,928	344,3146	4923,928	344,3146	78539,82	68003,33
50	4917,169	430,1965	4917,169	430,1965	78539,82	67845,09
51	4908,912	515,9474	4908,912	515,9474	78539,82	67690,1
52	4899,16	601,5412	4899,16	601,5412	78539,82	67538,41
53	4887,915	686,9517	4887,915	686,9517	78539,82	67390,08
54	4875,182	772,153	4875,182	772,153	78539,82	67245,15
55	4860,964	857,119	4860,964	857,119	78539,82	67103,65
56	4845,264	941,824	4845,264	941,824	78539,82	66965,64



63

57	4828,089	1026,242	4828,089	1026,242	78539,82	66831,15
58	4809,444	1110,348	4809,444	1110,348	78539,82	66700,23
59	4789,333	1194,115	4789,333	1194,115	78539,82	66572,92
60	4767,763	1277,518	4767,763	1277,518	78539,82	66449,25
61	4744,741	1360,533	4744,741	1360,533	78539,82	66329,27
62	4720,274	1443,133	4720,274	1443,133	78539,82	66213
63	4694,369	1525,293	4694,369	1525,293	78539,82	66100,49
64	4667,034	1606,989	4667,034	1606,989	78539,82	65991,77
65	4638,277	1688,195	4638,277	1688,195	78539,82	65886,87
66	4608,108	1768,887	4608,108	1768,887	78539,82	65785,83
67	4576,535	1849,04	4576,535	1849,04	78539,82	65688,67
68	4543,568	1928,63	4543,568	1928,63	78539,82	65595,42
69	4509,216	2007,632	4509,216	2007,632	78539,82	65506,12
70	4473,491	2086,023	4473,491	2086,023	78539,82	65420,79
71	4436,404	2163,779	4436,404	2163,779	78539,82	65339,45
72	4397,965	2240,875	4397,965	2240,875	78539,82	65262,14
73	4358,187	2317,289	4358,187	2317,289	78539,82	65188,87
74	4317,081	2392,997	4317,081	2392,997	78539,82	65119,66
75	4274,66	2467,976	4274,66	2467,976	78539,82	65054,55
76	4230,936	2542,203	4230,936	2542,203	78539,82	64993,54
77	4185,924	2615,656	4185,924	2615,656	78539,82	64936,66
78	4139,637	2688,312	4139,637	2688,312	78539,82	64883,92
79	4092,089	2760,149	4092,089	2760,149	78539,82	64835,34
80	4043,295	2831,146	4043,295	2831,146	78539,82	64790,94
81	3993,269	2901,28	3993,269	2901,28	78539,82	64750,72
82	3942,026	2970,53	3942,026	2970,53	78539,82	64714,7
83	3889,583	3038,875	3889,583	3038,875	78539,82	64682,9
84	3835,955	3106,295	3835,955	3106,295	78539,82	64655,32
85	3781,158	3172,769	3781,158	3172,769	78539,82	64631,96
86	3725,21	3238,276	3725,21	3238,276	78539,82	64612,84
87	3668,127	3302,796	3668,127	3302,796	78539,82	64597,97
88	3609,927	3366,311	3609,927	3366,311	78539,82	64587,34
89	3550,627	3428,8	3550,627	3428,8	78539,82	64580,96
					F _{med} [N]	65970,84



Precizarea stadiului cunoscut al tehnicii în domeniul obiectului invenției, cu menționarea dezavantajelor soluțiilor tehnice cunoscute;

Pentru realizarea mișcării de translație cu ajutorul sistemelor inerțiale (adică fără să fie necesară utilizarea unui lanț cinematic de la motorul de antrenare până la roțile de rulare a dispozitivului pe care este montat sistemul inerțial), sunt cunoscute o serie de sisteme inerțiale care au rămas în faze de brevete deoarece au un randament redus sau din cauza că inventatorii nu au ținut cont de forțele de reacționi ce apar în tipul funcționării.

Problema tehnică pe care o rezolvă invenția este de obținerea unei forțe de tracțiune după o direcție bine stabilită capabilă să producă deplasarea unidirecțională a dispozitivului ut pe care este montat acest sistem fără să fie necesar folosirea unui lanț cinematic de la acest sistem pâna la roțile de rulare a dispozitivului.

Elementul de originalitate a sistemului constă în antrenarea unui volum de lichid delimitat între cavitatea unui cilindru și a unui alt cilindru plin la care axele de simetrie a celor doi cilindri se află la o distanță excentrică e între ele , antrenarea volumului de lichid realizată cu ajutorul unor paleți montați pe cilindru cu cavitate, cu posibilitatea de culisare a acestora.

Prezentarea modului concret de realizare a invenției:

Așa cum este prezentat în figura 1 schematic cu precizarea fiecărui element din figura se poate observa că fiecare element este astfel conceput încât se poate realiza cu niște prelucrări mecanice simple cunoscute. De menționat este faptul că etanșarea între porțiuni de volum de lichid realizată cu ajutorul paleților de antrenare nu trebuie să fie perfectă fiind suficient etanșări metal pe metal cu suprafețele de contact rectificate.

Conform schemei de funcționare din fig.1 și cu menționările facute mai sus se poate concepe și proiecta realizarea practica a invenției.

Avantajelor rezultate din aplicarea invenției:

Prin aplicarea invenției se obțin următoarele avantaje:

- realizarea unei forței de tracțiune după o direcție bine stabilită cu posibilitatea modificării direcției acestei forțe prin modificarea poziției unghiulare a excentricității între axele de simetrie a cilindrilor care delimită lichidul ;

- prin creșterea turării celor doi cilindrii care delimită lichidul, paleții de antrenare asigură o viteză unghiulară care este capabilă la obținerea unei forțe de tracțiune relativ mare;

- simplitatea părților componente care duce la simplitatea întregului sistem.



În figura 1 semnificațiile notațiilor sunt:

1. Cilindru exterior

2. Cilindru interior

3. Paleți

4. Arc elicoidal

5. Canal

6. Coroană dințată

7. Braț

8. Alezaj fix

9. Lanț cinematic

10. Roată dințată

11. Ax mobil

12. Ax mobil

13. Lanț cinematic

CV +M cutie viteză și motor antrenare sistem

FIŞA BIBLIOGRAFICĂ

Monografii si articole:

- [1] Alexandru, P. ş.a. *Mecanisme* Universitatea din Braşov, 1984
- [2] Alexandru, P. ş.a. *Proiectarea funcțională a mecanismelor* Braşov, Editura Lux Libris, 2000
- [3] Anand, G., Jobin, J., Vijayan K., Optimization of Configuration of Inertial Propulsion System for Future Space Application, American International Journal of Research in Science, Technology, Engineering & Mathematics, pag. 95- 100, 2014.
- [4] Engel, A.B., Stiebitz, P.H., *The cybernetics of inertial Propulsion*, Kybernetes ,Vol. 38, No. (1/2), pag. 141-157, 2009.
- [5] Manolescu M. ş.a. *Manualul inginerului mecanic* Editura Tehnică Bucureşti,
- [6] Provatidis, C.G., *Some Issues on Inertia Propulsion Mechanisms Using Two Counter-Rotating Masses*, Теория Механизмов и Машин. №1. Том 8, pag. 34-41, 2010

Brevete de invenție:

- [7] Benjamin P.M. *Centrifugal thrust motor* US Patent 3750484, 1973
- [8] Haller P. *Propulsign Apparatus* US Patent 3177660, 1965
- [9] Cuff C.I, *Device for converting rotary motion into a undirectional linear motion* US Patent 3998107, 1976
- [10] Cuff C. I. *Device for converting rotary motion into unidirectional motion* US Patent 4095460, 1978
- [11] Oades R.A. *Apparatus for generating a propulsion force* US Patent 5890400, 1999
- [12] Schnur N. J. *Method and apparatus for propelling an object by an unbalanced centrifugal force with continuous motion* US Patent 3979961, 1976

60

REVENDICĂRI

1. Sistemul inerțial de transformare a mișcării de rotație în mișcare liniară unidirecțională caracterizată prin accea că prin utilizarea acestui sistem se obține realizarea unei forțe de tracțiune după o direcție bine stabilită prin antrenarea în mișcare de rotație a unor cantități variabile de lichide în timpul unei rotații complectă, cantități delimitate de cavitatea unui cilindru, a unui alt cilindru plin și niște paleți de antrenare.



DESENE EXPLICATIVE

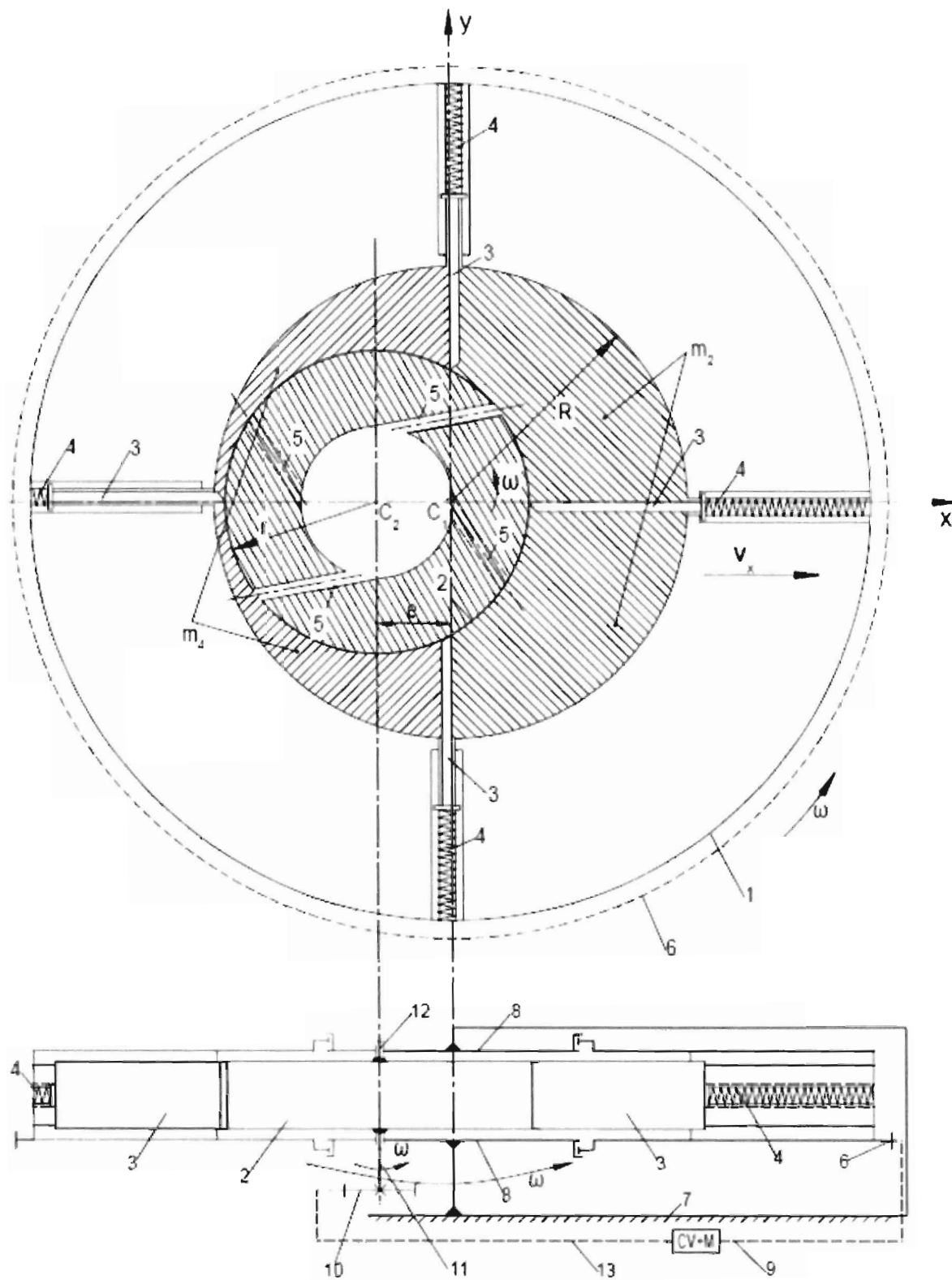


Fig. 1. Schema de principiu a sistemului inerțial

G.G.
Gintă

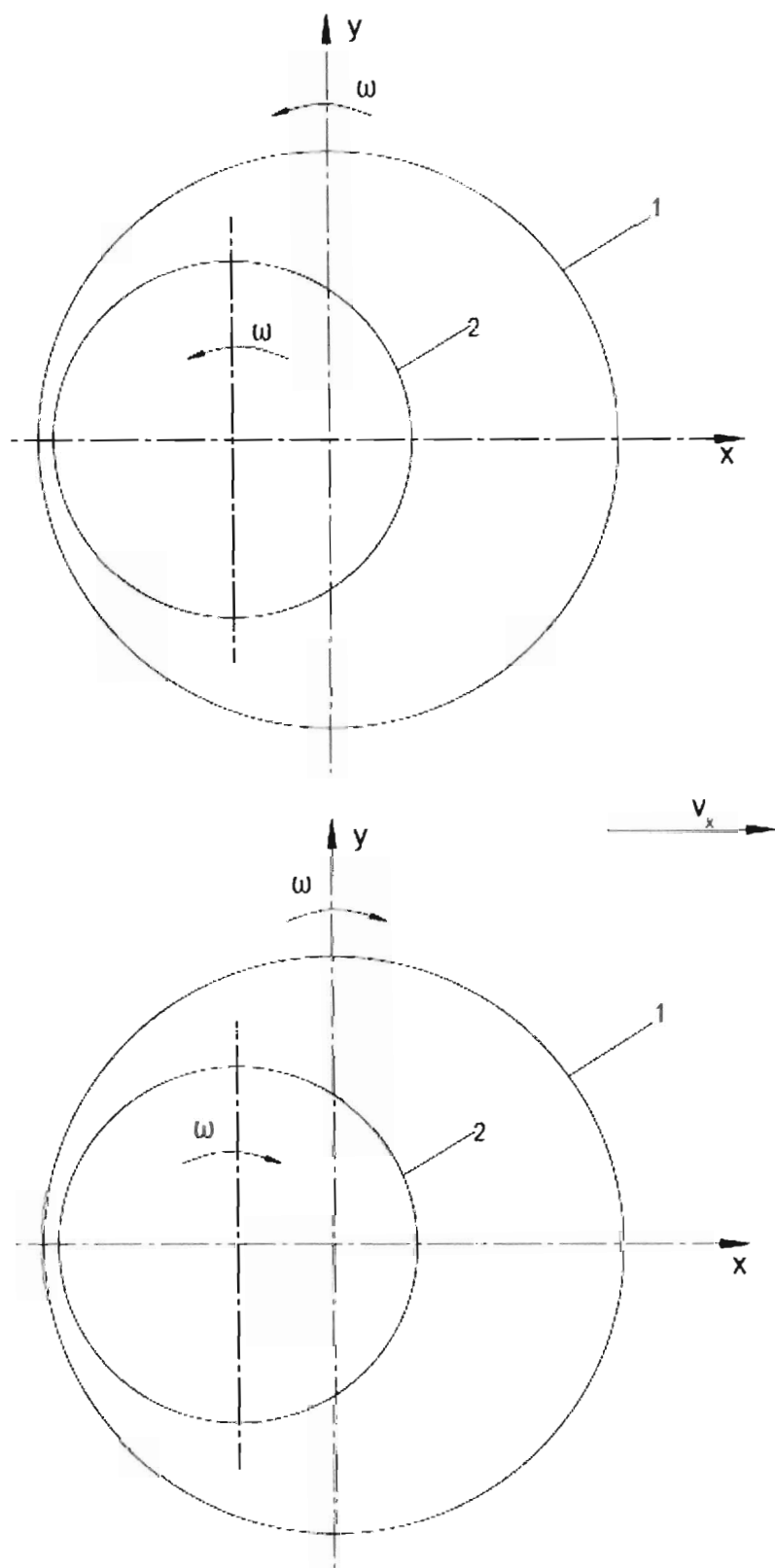


Fig. 2. Grup de pereche de sisteme inerțiale

GG
Gra
ch

57

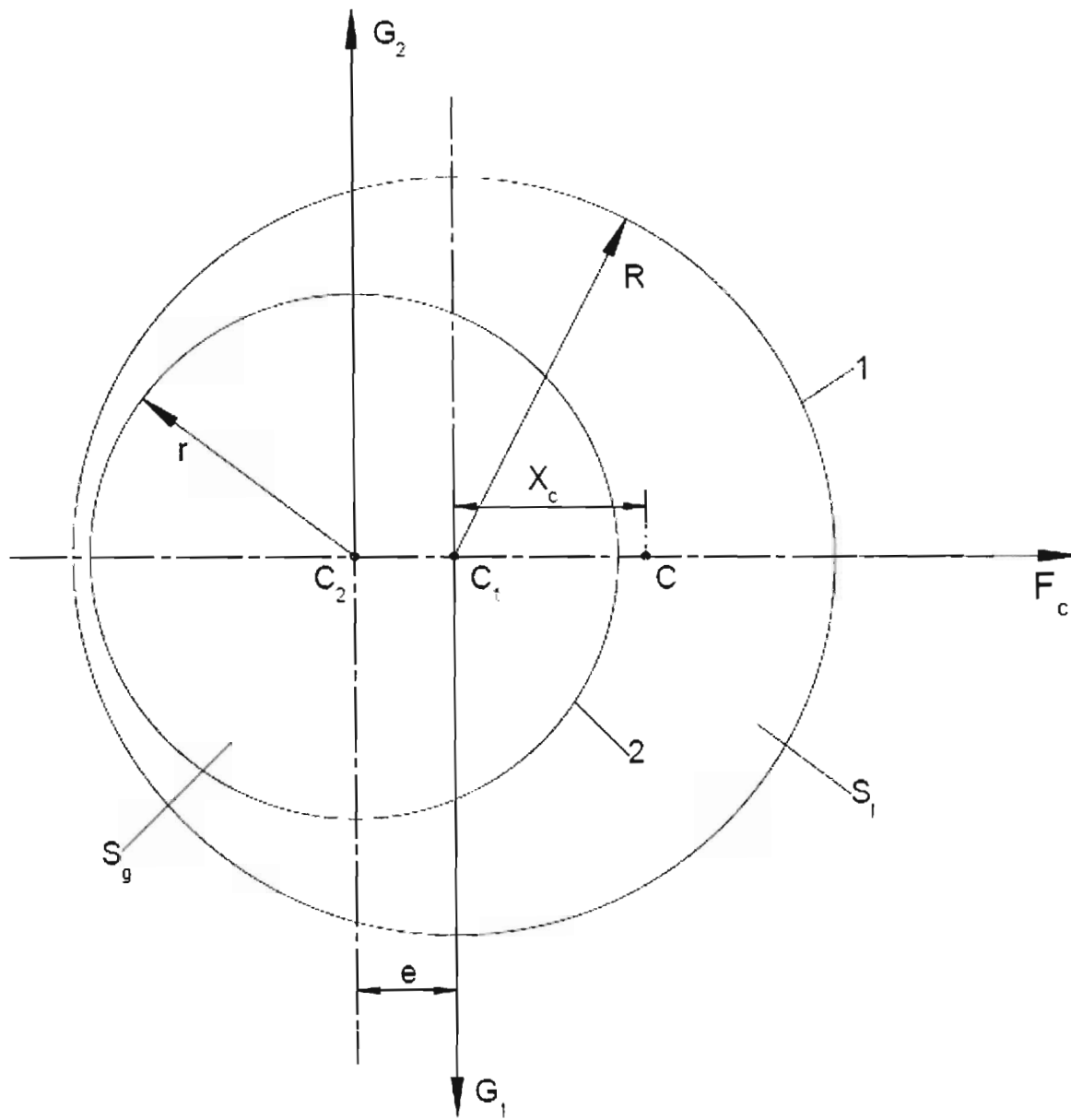


Fig. 3. Shcema de calcul a coordonatei centrului de greutate a lichidului

Eugen
Gheorghe

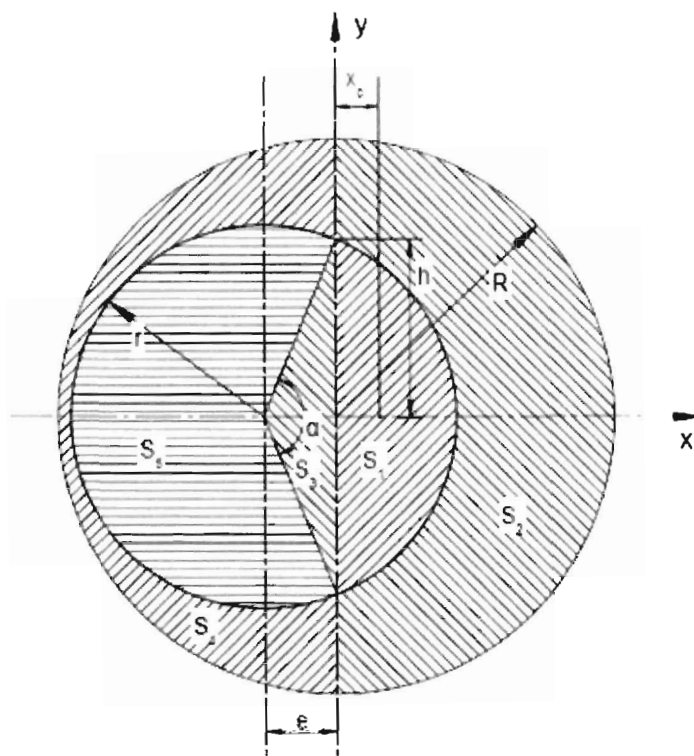


Fig.4. Schema ariilor diferitelor porțiuni de delimitare a lichidului

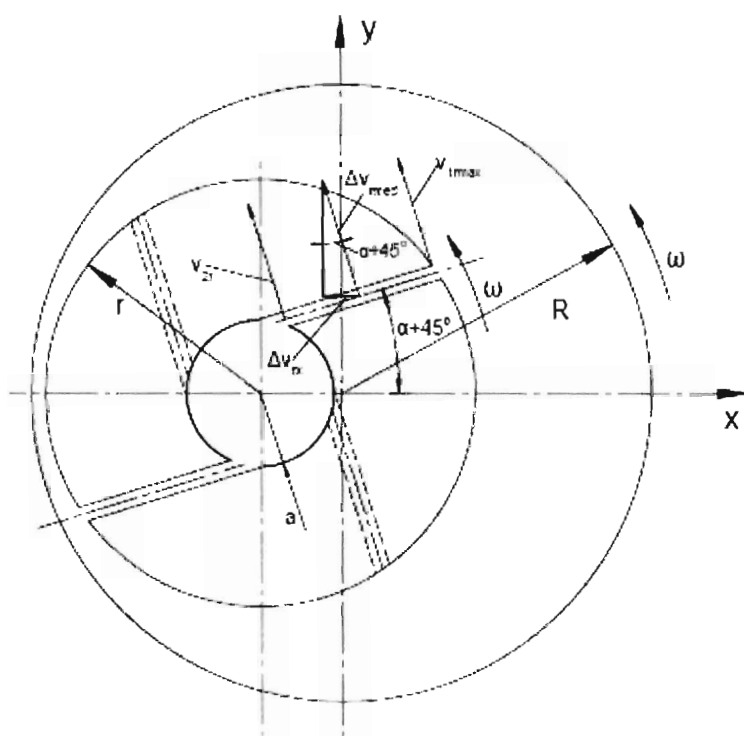


Fig.5. Schema forțelor produse în canalele de circulație a lichidului